

ПРОЕКТИРОВАНИЕ ЦИЛИНДРИЧЕСКИХ КУЛАЧКОВ РАСКЛАДКИ

А.Ф.ПРОШКОВ

(Московский государственный текстильный университет им. А.Н. Косыгина)

Цилиндрические кулачки раскладки применяют на высокоскоростных формоочечных, крутильных, мотальных, перемоточных и текстурирующих текстильных машинах, формирующих цилиндрические паковки с плоскими и коническими концами. Качество формируемой паковки, энергозатраты, вибрационность и срок службы наматывающих устройств зависят в основном от конструктивных параметров кулачка раскладки.

На одних машинах кулачок сообщает возвратные движения нитеводителю, на других – непосредственно нити.

В первом случае винтовые пазы кулачка противоположных направлений сопрягают на участках реверса преимущественно дугами окружностей. На рис. 1-а изображена развертка одношагового цилиндрического кулачка по среднему радиусу r (рис. 1: 1 – нитеводительная штанга; 2 – палец; 3 – ролик; 4 – лодочка; 5 – кулачок раскладки; 6 – каретка). Средняя линия ABCDEFA паза состоит из дуг FAB, CDE радиуса r и прямых BC и EF с углом наклона α .

В этом случае нитеводительная штанга 1 с жестко закрепленным на ней пальцем 2, размещенным в пазу кулачка, будет двигаться по законам:

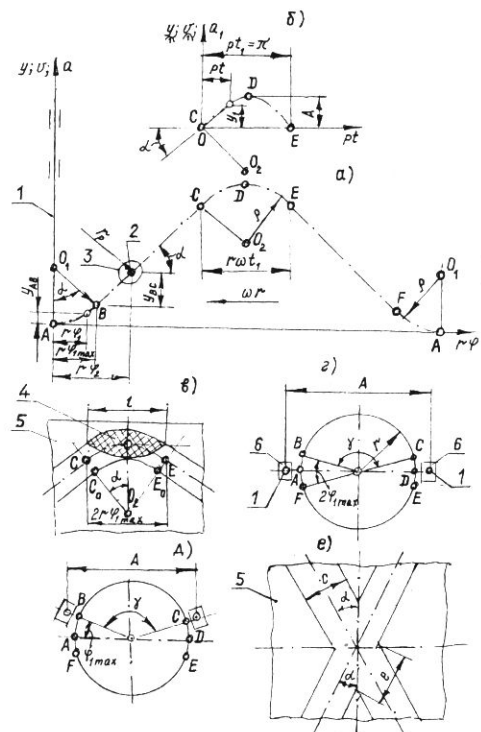


Рис. 1

при перемещении оси пальца 2 по кривой AB:

$$y_{AB} = Q - \sqrt{Q^2 - r^2 \varphi_1^2};$$

$$v_{AB} = \frac{r^2 \omega \varphi_1}{\sqrt{Q^2 - r^2 \varphi_1^2}} ;$$

$$a_{AB} = \frac{r^2 \omega^2 Q^2}{\sqrt{(Q^2 - r^2 \varphi_1^2)^3}},$$

при перемещении оси пальца по наклонной прямой BC:

$$y_{BC} = r(\varphi_2 - \varphi_{1max}) \operatorname{tg}\alpha; v_{BC} = r\omega \operatorname{tg}\alpha;$$

$$a_{BC} = 0,$$

где φ_1, φ_2 – угол поворота кулачка; $0 \leq \varphi_1 \leq \varphi_{1max}$; $\varphi_{1max} = \frac{Q \sin \alpha}{r}$; $\varphi_{1max} \leq \varphi_2 \leq \pi - \varphi_{1max}$; $\omega = \frac{v \sin \beta_0}{r \operatorname{tg}\alpha}$ – угловая скорость кулачка; v – продольная скорость нити (скорость наматывания).

Если время t_1 реверса нитеводителя задано, то радиус дуги сопряжения участков реверса кулачка раскладки

$$Q = \frac{r \omega t_1}{2 \sin \alpha}.$$

При $\varphi_1 = 0$ ускорение штанги 1:

$$a_{ABmin} = \frac{r^2 \omega^2}{Q} = \frac{2r\omega \sin \alpha}{t_1},$$

а при $\varphi_1 = \varphi_{1max}$:

$$a_{ABmin} = \frac{r^2 \omega^2}{Q \cos^3 \alpha} = \frac{2r\omega \sin \alpha}{t_1 \cos^3 \alpha}.$$

Исследование полученных зависимостей показывает, что в точках B, C и E, F, принадлежащих соответственно наклонным прямым BC и EF, ускорение штанги равно нулю, и в тех же точках, но принадлежащих кривым FAB и CDE, ускорение штанги максимальное. Следовательно, во время реверса при прохождении оси пальца 2 через точки B, C и E, F дважды происходит мгновенное соударение пальца с кулачком, что крайне негативно сказывается

на работе механизма раскладки.

При синусоидальном сопряжении наклонных прямых (винтовых линий) BC и EF и работе кулачка участками реверса мгновенного соударения пальца с кулачком не происходит.

На рис. 1-б изображена схема синусоидального сопряжения винтовых линий. При перемещении оси пальца 2 по кривой CDE штанга 1 будет двигаться по законам:

$$y_1 = A_1 \sin pt; v_1 = A_1 p \cos pt;$$

$$a_1 = -A_1 p^2 \sin pt,$$

где A_1 – амплитуда синусоиды; $p = \frac{\pi}{t_1}$ – круговая скорость синусоидального движения; t – время; $0 \leq t \leq t_1$.

$$\text{При } t = 0 \quad v_1 = \frac{\pi A_1}{t_1} = \omega r \operatorname{tg}\alpha = v \sin \beta_0,$$

$$A_1 = \frac{r \omega t_1 \operatorname{tg}\alpha}{\pi} = \frac{v t_1 \sin \beta_0}{\pi}.$$

Следовательно, при синусоидальном профиле участков реверса кулачка раскладки

$$y_1 = \frac{v t_1 \sin \beta_0 \sin \frac{\pi t}{t_1}}{\pi},$$

$$v_1 = v \sin \beta_0 \cos \frac{\pi t}{t_1},$$

$$a_1 = -\frac{\pi v \sin \beta_0 \sin \frac{\pi t}{t_1}}{t_1}.$$

При $t = 0 \quad a_{1min} = 0$, а при $t = \frac{t_1}{2}$

$$a_{1max} = -\frac{\pi v \sin \beta_0}{t_1}.$$

За время реверса t_1 кулачок поворачивается на угол (рис. 1-в, г):

$$2\varphi_{1max} = \omega t_1 = \frac{v t_1 \sin \beta_0}{r \operatorname{tg}\alpha}.$$

В кулачковом механизме время реверса нитеводителя всегда больше нуля. В [1]

время реверса рекомендуется определять по формуле

$$t_1 = \frac{2b}{v \cos \beta_0},$$

где b – расстояние между точкой наматывания и траекторией движения глазка нитеводителя.

Длина перпендикуляра (рис. 1-а...в):

$$CO_2 = EO_2 = \frac{r \omega t_1}{2 \sin \alpha},$$

а радиус r_p ролика (пальца) 2 должен быть меньше CO_2 :

$$r_p = \frac{r \omega t_1}{2 \sin \alpha} - r_2,$$

где $r_2 \approx 3...5$ мм – минимально допустимое расстояние $C_0O_2 = E_0O_2$ (радиус скругления мыска кулачка раскладки).

На двухсторонних машинах один кулачок раскладки сообщает движение двум нитеводительным штангам. Если оси пальцев 2 расположены на одном диаметре кулачка (рис. 1-г), то штанги одновременно при реверсе получают максимальные ускорения. Силы инерции штанг во время реверса действуют на кулачок в противоположных направлениях, образуя силовую пару, дополнительно нагружающую опоры кулачка. Периодическое ударное воздействие штанг на кулачок вызывает вибрацию упругих систем машины, повышает расход энергии и износ трущихся поверхностей.

Если оси пальцев 2 расположены на разных диаметрах кулачка (рис. 1-д), то во время реверса штанг их силовое воздействие на кулачок уменьшается почти в два раза.

Угол между этими диаметрами

$$\gamma = \pi - 2\varphi_{1\max} = \pi - \frac{vt_1 \sin \beta_0}{rtg \alpha}.$$

Для того, чтобы снизить вредное влияние реверсивного движения нитеводительных штанг на механизм раскладки и на

всю машину, необходимо иметь осевой момент инерции массы кулачка

$$\theta \approx 25m_1 a_{1\max} r t_1 f / \omega,$$

где m_1 – масса нитеводительной штанги со всеми жестко закрепленными на ней деталями; f – коэффициент трения скольжения между пальцем (роликом, ползушкой, лодочкой) и кулачком.

Кроме того кулачок раскладки должен быть статически и динамически уравновешен с высокой точностью [2].

Если на палец 2 посажен ролик, то в начале реверса штанги происходит быстрое его торможение, а в конце реверса – быстрый разгон. Угловая скорость ролика относительно оси пальца 2 перед реверсом

$$\omega_p = \frac{r \omega \eta}{r_p \cos \alpha},$$

где $\eta = 0,97...0,98$ – коэффициент, учитывающий проскальзывание ролика при качении по винтовой поверхности паза.

При проектировании механизма раскладки целесообразнее вместо ролика предусматривать сменную ползушку (лодочку) (рис.1-в) из антифрикционного металлического или полимерного материала.

Длину лодочки следует брать максимально возможной:

$$\ell \approx r \omega t_1 = \frac{2r \omega b}{v \cos \beta_0}.$$

Если на каждом рабочем месте машины устанавливают индивидуальный механизм раскладки, то в качестве движителя нитеводителя (штанги, лодочки) выгоднее применять многошаговый цилиндрический кулачок раскладки радиусом $r = 25...30$ мм, обеспечивающий длину раскладки H более 200 мм.

Число шагов замкнутого паза кулачка раскладки

$$K = \frac{E}{\pi r t g \alpha},$$

где $E = (1,03 \dots 1,05)H$ – ход пальца или лодочки 2; H – длина формируемой паковки. Полученное значение K округлять до ближайшего целого числа, после чего результат угла необходимо уточнить: $\alpha \approx 18 \dots 23^\circ$.

При пересечении винтовых пазов противоположных направлений образуются ромбовидные перекрестки, на которых отсутствуют винтовые пазы (рис. 1-е).

Длина стороны ромбовидного перекрестка

$$e = \frac{c}{\sin 2\alpha},$$

где $c = 4 \dots 6$ мм – ширина винтового паза.

Поскольку критическая длина лодочки

$$\ell_{kp} = \frac{2c}{\sin 2\alpha},$$

то при ее проектировании действительную длину следует брать примерно равной

$$\ell \geq \frac{3c}{\sin 2\alpha}.$$

Форма сечения лодочки зависит от профиля паза на участке реверса (рис. 1-в). Глубину винтового паза кулачка можно брать равной его ширине.

Если на двухсторонней крутильной машине расстояние между осями нитеводительных штанг $A = 340$ мм (рис. 1-д), длина паковки $H = 125$ мм, $v = 150$ м/мин, $\beta_0 = 15^\circ$, $\alpha = 20^\circ$, $b = 30$, $r_p = 12,5$ мм, $f = 0,2$, то основные конструктивные параметры одношагового цилиндрического кулач-

ка раскладки должны быть следующими: $E = 130$; $r_0 = 112$; $r = 125$; $r_1 = 138$; $EO_2 = CO_2 = 65$ мм; $2\varphi_{1max} = 27^\circ$; $\alpha = 19^\circ 40'$; $A_1 = 5,33$ мм; $t_1 = 0,025$ с; $m_1 \approx 3$ кг; $\omega = 14,2$ с⁻¹; $\omega_p = 148$ с⁻¹; $\gamma_{max} = 166^\circ 30'$; $a_{1max} = -82$ м/с²; $l \approx 45$ мм; $\theta = 0,2$ кг·м².

Если на перемоточной машине используется многошаговый цилиндрический кулачок раскладки из полиамида, то при $H = 250$ мм, $v = 20$ м/с, $\alpha = 20^\circ$, $\beta_0 = 15^\circ$, $b = 30$, $r_0 = 21$, $r = 23$, $r_1 = 25$ мм, $m_1 \approx 50$ г получим: $E = 258$ мм; $K = 10$; $t_1 = 0,003$ с; $a_{1max} = -7160$ м/с²; $\omega = 618$ с⁻¹; $2\varphi_{1max} = 106^\circ$; $CO_2 = 62$; $e = 6,22$; $l = 19 \dots 40$; $A_1 = 4,94$ мм; $c = 4$ мм; $\theta = 0,0002$ кг·м².

ВЫВОДЫ

Полученные аналитические зависимости и практические рекомендации позволяют спроектировать цилиндрический кулачок раскладки с оптимальными параметрами.

ЛИТЕРАТУРА

- Прошков А.Ф. Расчет и проектирование машин для производства химических нитей и волокон. – М.:Легкая и пищевая промышленность, 1982.
- Прошков А.Ф., Яскин А.П. Динамика машин для производства химических нитей и волокон. – М.:РИО, МГТУ, 2001.

Рекомендована кафедрой проектирования машин для производства химических волокон и краильно-отделочного оборудования. Поступила 17.04.02.